

# 大阪湾における波浪特性

広瀬宗一\*・高橋智晴\*\*

## 1. はじめに

大阪湾においては、昭和52年末に泉州沖に観測塔（以後MT局と称する）が建設され、昭和53年より本格的な海上観測が開始された。観測塔は泉佐野市の沖合約6km（北緯34°25'49”，東経135°14'26”），水深約-19.5m地点に設置されている。観測塔周辺においては、波高（超音波式波高計、階段抵抗式波高計）、流速（超音波式流速計、表層、中層および底層の三ヵ所）、および風向・風速（プロペラ式風向・風速計）等が観測されている。波高計および流速計の設置水深は、それぞれ-18.5m, 3m, 9m, 15mであり、サンプリング間隔および観測時間は底層で1.0秒、10分の他はいずれも0.1秒、13分となっており毎時あるいは連続観測がなされている。

本稿においては、これらの取得データを基に大阪湾における波浪の統計的性質の把握、および大阪湾内に侵入する長周期成分波のエネルギーの推定評価を試みたものである。サンプル数は僅か約100ケースであるが、多様な観測項目および観測地点の地理的特性は、集積されつつある沿岸波浪情報の活用方策の検討および波浪の数値計算等波浪に関連する諸条件の設定に寄与するものであると考え、ここに報告するものである。

## 2. 解析手法について

### 2.1 波浪の統計量について

任意の時間  $t$  における水面の上昇量を  $\eta(t)$  として、この  $\eta$  が正規分布をすると仮定すると、

$$p(\eta) = (\eta/\sqrt{2\pi}\eta_{rms}) \exp[-(\eta/\eta_{rms})^2] \quad (1)$$

ここに、 $\eta_{rms}$  は  $\eta$  の標準偏差を意味する。

しかし、波の非線型性が強くなってくると、式(1)に示した正規分布に従わなくなり、その程度は歪度（skewness）、尖度（kurtosis）により知ることができる。

$$\sqrt{\beta_1} = \bar{\eta}^3 / (\bar{\eta}^2)^{3/2} \quad (2)$$

$$\beta^2 = \bar{\eta}^4 / (\bar{\eta}^2)^2 \quad (3)$$

波高の分布については、 $\eta$  が正規分布をし、かつ周期が狭帯域に分布をすると仮定すると次のようなRayleigh

分布になることが示され、有義波高  $H_{1/3}$  は  $\eta_{rms}$  と次のように関連づけられる。

$$H_{1/3} = 4.004\eta_{rms} \quad (4)$$

### 2.2 波浪の統計量とスペクトルの関係

波の周波数スペクトル  $S(f)$  の  $n$  次のモーメントは次式で与えられる。

$$m_n = \int_0^\infty f^n S(f) df \quad (5)$$

(5) 式に示すようにスペクトルのモーメント  $m_n$  を定義すると、水位変動の標準偏差  $\eta_{rms}$  は0次のモーメント  $m_0$  と次のような関係にある。

$$\eta_{rms} = \sqrt{m_0} \quad (6)$$

周期については、Riceの理論により観測時間を  $t_0$ 、この間に含まれるゼロアップクロス点の数を  $N_z$ 、極大点の数を  $N_c$  とすると、

$$\left. \begin{aligned} T_z &= t_0/N_z = \sqrt{m_0/m_2} \\ T_c &= t_0/N_c = \sqrt{m_2/m_4} \end{aligned} \right\} \quad (7)$$

の関係が  $t_0 \rightarrow \infty$  の時確率1で成立する。ここに、 $T_z$ 、 $T_c$  はそれぞれゼロアップクロス周期、クレスト周期を意味している。

周波数スペクトルの形状を表わすパラメータとしては以下に示すようなものがよく用いられる。

$$\left. \begin{aligned} \varepsilon_S &= \sqrt{1 - (m_2^2/m_0 m_4)} \\ \varepsilon_T &= \sqrt{1 - (T_c/T_z)^2} \\ \nu_S &= \sqrt{(m_0 m_2/m_1^2) - 1} \\ Q_p &= (2/m_0^2) \int_0^\infty f S^2(f) df \end{aligned} \right\} \quad (8)$$

### 2.3 Riceの理論によって推定されるパラメータ

風波のスペクトル型に関してはこれ迄に種々の提案がなされ、港湾諸計画をはじめとする諸分野に活用されているが、現在のところこれらのスペクトル型の成立する必然性はなく、工学的な活用面から暫定的に用いられているにすぎない。これらのスペクトル型は一般に次のような形をしている。

$$S(f) = A f^{-5} \exp[-B f^{-4}] \quad (9)$$

この型は海洋波のスペクトルをよく近似することがこれまでの多くの研究成果により示されている。しかしながら、このようなスペクトル型を用いると、(8)式に

\* 正会員 工修 運輸省港湾技術研究所 水工部海象観測研究室

\*\* 正会員 運輸省港湾技術研究所 水工部海象観測研究室長



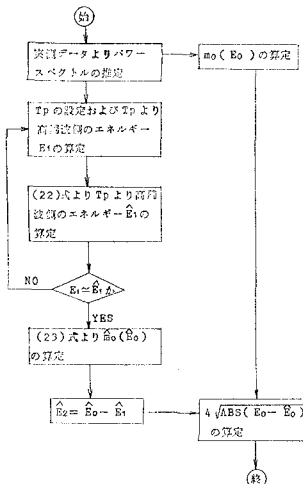


図-1 大阪湾への侵入波のエネルギーの推定フローチャート

がって、大阪海内で発生する高波を考える場合ほとんどのケースはほぼ定常状態に達している可能性を有しているものと考えられる。また、本稿において対象とした高波時における風の時間変化を調べると、特に有義波高が1m以上連続期間においては風向の変化はほとんどなく、またスペクトル型については高周波側の勾配は(9)式で良く近似できることが事前の調査により確認されたので、以上のことを前提として図-1に示すような手順により湾内で発生するうねりおよび外海から侵入するエネルギーの推定を試みることとした。

### 3. 調査結果および考察

#### 3.1 波浪の統計量について

ここで対象としたデータは、MT局において取得された異常波浪時の記録の内、 $\eta_{rms} \geq 25\text{ cm}$ 以上のものであり、さらに電気的あるいは機械的なノイズの混入による影響を避けるためデータ長100秒以下のもの、および  $\beta_2 > 10$  のデータについてはあらかじめ計算の対象から除外した。スペクトル計算にはFFT法が用いられている。

このようにして得られた各種の統計量の平均値および標準偏差の一覧表を表-1に示す。これによると、平均値のサンプリング間隔による変動は  $T_{01}$ ,  $T_{02}$ ,  $T_{-10}$ ,  $T_p$ などのスペクトルから得られる周期パラメータ、 $T_{1/3}$ ,  $T_z$ ,  $T_{R1}$ などの波形記録から直接得られる周期パラメータ、

波はfetch-limitedであると考えられ、Savilleによる有効フェッチの考え方を考慮して各風向に対し適用すると、いずれも二十数km以下となる。今、仮りに吹送距離を25kmと設定し、S.M.B.法で用いられる風波の予知曲線より定常状態となるのに要する吹送時間を推定すると、 $2.5(U_{10}=20\text{ m/s}) \sim 3.5(U_{10}=10\text{ m/s})$ 時間となる。した

および水位記録から得られる  $\eta_{rms}$ ,  $\beta_2$ などで比較的小さく、一方  $T_{24}$ ,  $T_c$ ,  $T_{-20}$ ,  $\varepsilon_T$ ,  $\nu_T$ ,  $T_X$ などで比較的大きくなっている。このうち特に  $T_c$ で大きい。しかしながら、これらの比および標準偏差の変動は資料数および対象とした資料そのものの違いによるところが大きいので参考にとどめる。表-2には各パラメータ間の比およびその標準偏差、相関係数、および回帰関係を示している。

Riceの理論の成立を仮定して得られる推定値  $T_{p1}$ ,  $T_{R1}$ ,  $\nu_T$ のそれぞれ  $T_p$ ,  $T_{01}$ ,  $\nu_S$ に対する関係をみると、 $T_{p1}/T_p$ の値はサンプリング間隔が大きくなるほど小さくなり、0.5秒では約1.00と平均的に非常に良い対応を示し、比の標準偏差も0.5秒で最小となっている。この傾向は、 $\nu_S/\nu_T$ ,  $T_{R1}/T_{01}$ の場合についても同様である。一方これらの算定の基礎となった Riceの理論の成立については、 $T_c/T_{02}$ の値はサンプリング間隔が大きくなるにつれて大きくなり、サンプリング間隔0.5秒で約1.05と比較的よく成立している。しかしながら、 $T_c/T_{24}$ の値は1.18~1.25でかなりばらついており、Riceの理論は成立していない。比の標準偏差については  $T_c/T_{02}$ ,  $T_c/T_{24}$ 共0.5秒でもっとも小さく、相関係数も0.5秒で最大となっている。この結果は特に  $T_c/T_{02}$ の値について先の報告<sup>1)</sup>(太平洋、日本海、東シナ海の観測地点を対象)における値とほぼ同等であるが、 $T_c/T_{24}$ の値については本稿における値の方が小さくなっている。このことは、何らかの長周期波の混入による短い波との相互作用のような非線形効果による影響を示唆しているようと思われる。

$T_p$ に対する各周期パラメータの値は、 $T_{p1}$ に対する

表-1 各種統計量の平均値および標準偏差  
( $T_{-10}$ ,  $T_{-20}$ はそれぞれ  $m_{-1}/m_0$ ,  $\sqrt{m_{-2}/m_0}$  を意味する)

変数名 $X$	0.2秒(N=92)		0.3秒(N=94)		0.4秒(N=91)		0.5秒(N=87)	
	AVE(X)	STD(X)	AVE(X)	STD(X)	AVE(X)	STD(X)	AVE(X)	STD(X)
$T_{01}$	3.79504	0.30792	3.80639	0.29565	3.80713	0.30906	3.81102	0.30452
$T_{02}$	3.53739	0.28034	3.55987	0.26764	3.56421	0.27906	3.57787	0.27318
$T_{24}$	2.15642	0.20307	2.35355	0.14093	2.44453	0.15661	2.53646	0.14494
$T_{-10}$	4.24542	0.36334	4.29562	0.34798	4.25414	0.36805	4.26905	0.36007
$T_{-20}$	4.83634	0.48987	5.34873	0.71179	4.83753	0.49105	5.06158	0.54776
$T_z$	3.66739	0.33084	3.69357	0.31904	3.72564	0.32684	3.76860	0.33779
$T_c$	2.67814	0.20407	2.78136	0.18061	2.90728	0.20381	3.04528	0.20300
$\eta_{rms}$	0.33285	0.05860	0.33171	0.05614	0.33285	0.05810	0.33179	0.05719
$\sqrt{\beta_1}$	0.19189	0.10602	0.19597	0.08213	0.19279	0.09968	0.19815	0.07964
$\beta_2$	3.16119	0.61193	3.14775	0.43338	3.15519	0.51019	3.13361	0.32432
$\varepsilon_S$	0.79014	0.03193	0.74871	0.02045	0.72593	0.02303	0.70336	0.02210
$\varepsilon_T$	0.67910	0.04010	0.65389	0.03814	0.62022	0.04658	0.58302	0.04856
$\nu_S$	0.38738	0.02977	0.37736	0.02646	0.37412	0.02726	0.35541	0.02527
$\nu_T$	0.44781	0.04661	0.41939	0.04087	0.38606	0.04464	0.35198	0.04360
$T_p$	4.55842	0.42787	4.60006	0.51085	4.57570	0.44353	4.59804	0.50617
$T_{p1}$	5.08266	0.76686	4.90249	0.68468	4.73410	0.65068	4.59728	0.62563
$T_{R1}$	4.02476	0.40943	4.01109	0.39284	3.99985	0.39462	4.00167	0.40340
$Q_p$	2.65280	0.37365	2.87902	0.49812	2.63323	0.38684	2.77058	0.42900
$T_{1/3}$	4.22275	0.35758	4.24307	0.36420	4.24190	0.37110	4.27536	0.41500
$T_{1/10}$	4.20493	0.38290	4.25055	0.40577	4.24124	0.39922	4.33223	0.49586
$T_X$	4.21795	0.50300	4.18554	0.48821	4.38889	0.88722	4.74074	1.74291

表-2 各種統計量間の相関関係

		0.2 秒 ( $N=92$ )								0.3 秒 ( $N=94$ )								0.4 秒 ( $N=91$ )								0.5 秒 ( $N=87$ )							
$X$	$Y$	Ave	STD	Cor	切片	回帰係数		Ave	STD	Cor	切片	回帰係数		Ave	STD	Cor	切片	回帰係数		Ave	STD	Cor	切片	回帰係数									
		(X, Y)	(X, Y)	(X, Y)	(X, Y)	(X, Y)	(X, Y)	(X, Y)	(X, Y)	(X, Y)	(X, Y)	(X, Y)	(X, Y)	(X, Y)	(X, Y)	(X, Y)	(X, Y)	(X, Y)	(X, Y)	(X, Y)	(X, Y)	(X, Y)	(X, Y)	(X, Y)	(X, Y)	(X, Y)	(X, Y)	(X, Y)					
$T_{1/3}$	$T_p$	0.944	0.940	0.93629	-0.01665	1.07660	0.927	0.055	0.91340	-0.39141	1.17523	0.932	0.041	0.93696	0.0554	1.06156	0.935	0.057	0.93551	0.33954	0.99331												
$T_{1/10}$	$T_p$	0.929	0.046	0.91825	0.51125	0.95552	0.928	0.059	0.96621	0.14559	0.17167	0.920	0.047	0.92343	0.55091	0.94620	0.946	0.069	0.87950	1.11152	0.60230												
$T_x$	$T_p$	0.932	0.076	0.84542	1.96180	0.86719	0.914	0.079	0.79679	1.82222	0.66973	0.95	0.167	0.67904	3.51045	0.23319	1.019	0.329	0.56349	4.13440	0.09409												
$T_{p1}$	$T_p$	1.119	0.108	0.85953	2.43703	0.41098	1.061	0.079	0.86673	1.83223	0.53935	1.035	0.088	0.88863	2.02193	1.001	0.082	0.86537	1.71701	0.61798													
$T_{-20}$	$T_p$	0.938	0.047	0.91447	0.31091	0.99186	0.939	0.066	0.88299	0.26183	1.13169	0.935	0.047	0.91993	2.01252	1.02150	0.938	0.069	0.90133	-0.40759	1.16641												
$T_{-20}$	$T_p$	1.065	0.097	0.75136	2.17257	0.48868	1.165	0.187	0.46598	3.76110	0.51531	1.065	0.099	0.77441	2.09701	0.50902	1.128	0.149	0.59292	3.04123	0.29925												
$T_{01}$	$T_p$	0.839	0.038	0.91463	0.08317	1.17217	0.833	0.044	0.90611	-0.78417	1.41202	0.837	0.049	0.91925	-0.02708	1.26514	0.833	0.046	0.90683	-0.67361	1.38263												
$T_{02}$	$T_p$	0.783	0.038	0.89592	0.16553	1.23405	0.780	0.047	0.89192	-0.86544	1.51629	0.784	0.043	0.90209	-0.00936	1.28197	0.782	0.045	0.89357	-0.58453	1.47682												
$T_{24}$	$T_p$	0.478	0.045	0.60161	2.86593	0.76845	0.517	0.044	0.78440	-0.78894	2.28299	0.539	0.037	0.77573	0.46439	1.67350	0.556	0.039	0.79922	-0.87643	2.15903												
$T_x$	$T_p$	0.810	0.044	0.88628	0.77168	1.02561	0.800	0.051	0.87099	0.0713	1.22211	0.818	0.045	0.88565	0.59822	1.80389	0.823	0.051	0.86673	0.30640	1.13788												
$T_z$	$T_p$	0.593	0.041	0.76678	1.26588	2.17473	0.613	0.049	0.75137	0.27812	1.54230	0.640	0.046	0.75133	1.09662	1.22116	0.667	0.049	0.77628	0.11596	1.47114												
$T_{1/3}$	$T_{p1}$	0.841	0.072	0.91485	2.72220	1.81812	0.875	0.063	0.94347	-2.19451	1.67024	0.904	0.062	0.93984	-1.93351	1.57153	0.937	0.054	0.94538	-1.19264	1.32284												
$T_{1/10}$	$T_{p1}$	0.835	0.067	0.87216	1.14658	1.56206	0.846	0.062	0.92982	-1.22211	1.34043	0.903	0.066	0.90862	-0.97999	1.34753	0.948	0.070	0.89626	0.27334	0.96663												
$T_x$	$T_{p1}$	0.839	0.059	0.81403	0.89072	0.01220	0.863	0.054	0.79019	1.25774	0.86561	0.930	0.162	0.66389	3.26467	0.33444	1.015	0.285	0.70468	3.74140	0.1781												
$T_{-10}$	$T_{p1}$	0.844	0.070	0.91961	-2.57761	1.80665	0.884	0.064	0.92773	-2.24851	1.66412	0.907	0.061	0.94156	-1.97601	1.57741	0.949	0.061	0.93747	-1.99595	1.52992												
$T_{-20}$	$T_{p1}$	0.950	0.111	0.67347	0.68523	0.91190	1.104	0.173	0.54221	3.36293	0.28407	1.034	0.112	0.77698	0.78558	0.81258	1.132	0.155	0.55991	2.07084	0.37169												
$T_{01}$	$T_{p1}$	0.756	0.065	0.91413	2.83561	0.29085	0.786	0.055	0.94374	-2.87620	2.04038	0.812	0.045	0.94662	-2.42263	1.88008	0.836	0.051	0.95751	-2.48413	1.85389												
$T_{02}$	$T_{p1}$	0.705	0.064	0.89118	2.58568	2.18758	0.736	0.054	0.93264	-2.97426	2.08212	0.761	0.055	0.93414	-2.49108	2.02700	0.784	0.051	0.94848	-2.61053	2.01771												
$T_{24}$	$T_{p1}$	0.431	0.059	0.53362	2.72349	1.05760	0.484	0.048	0.79948	-2.55652	3.15990	0.524	0.051	0.80103	-1.89108	2.07979	0.558	0.049	0.89578	-3.06903	3.02777												
$T_z$	$T_{p1}$	0.728	0.052	0.94062	-2.52962	2.07849	0.763	0.045	0.96592	-2.62090	2.00631	0.793	0.041	0.96461	-2.19201	1.86058	0.824	0.040	0.97549	-1.94593	1.73856												
$T_x$	$T_{p1}$	0.505	0.065	0.64533	0.87189	1.50975	0.584	0.060	0.75237	-0.87481	2.05986	0.622	0.066	0.74701	-0.44719	1.77998	0.669	0.060	0.81868	-1.40630	1.97365												
$\tau_S$	$T_p$	0.871	0.077	0.74748	0.08433	0.93828	0.912	0.081	0.74410	0.06012	0.92085	0.979	0.104	0.75640	0.03624	0.93149	1.053	0.102	0.76088	0.01344	0.92220												
$\xi_S$	$T_p$	1.168	0.063	0.69311	1.65316	0.60334	0.986	0.077	0.85260	1.72269	0.60172	1.039	0.164	0.74133	3.11750	0.25313	1.073	0.391	0.73565	3.53366	0.15454												
$T_{1/10}$	$T_{p1}$	1.963	0.069	0.89171	1.65316	0.60334	0.986	0.077	0.85260	1.72269	0.60172	1.039	0.164	0.74133	3.11750	0.25313	1.073	0.391	0.73565	3.53366	0.15454												
$T_{1/40}$	$T_{p1}$	0.995	0.033	0.96258	0.62576	0.85709	1.148	0.032	0.96697	0.64633	0.999	0.033	0.96694	0.61614	0.85543	1.012	0.044	0.85717	0.95945	0.76755													
$T_x$	$T_p$	1.156	0.043	0.91920	0.08651	0.84165	1.037	0.039	0.96993	0.27284	0.85744	1.141	0.044	0.94063	0.33111	0.79922	1.137	0.049	0.96135	0.51386	0.79924												
$T_z$	$T_p$	1.035	0.032	0.95766	0.02211	0.75923	1.037	0.026	0.97202	0.55883	0.81179	1.044	0.029	0.97402	0.52309	0.81666	1.063	0.026	0.93911	0.61335	0.78593												
$T_{K1}$	$T_{p1}$	1.658	0.041	0.96248	0.59143	0.60950	1.052	0.034	0.97328	0.90670	0.72264	1.049	0.035	0.97105	0.83973	0.74168	1.048	0.031	0.97747	0.90991	0.74245												
$T_{Tz}$	$T_{p1}$	1.248	0.108	0.79002	0.50733	0.61486	1.186	0.048	0.89978	0.59611	1.189	0.052	0.89593	0.62424	0.62605	1.200	0.037	0.94223	0.58139	0.64122													

表-3  $T_p$  及び  $T_{p1}$  の  $T_{1/3}$  に対する比のサンプリング間隔による変動表-4  $T_p$ ,  $T_{p1}$  の  $T_{01}$ ,  $T_{02}$  に対する比のサンプリング間隔による変動

サンプリング間隔	$T_p/T_{01}$	$T_{p1}/T_{01}$	$T_p/T_{02}$	$T_{p1}/T_{02}$
0.2 s	1.192	1.323	1.278	1.419
0.3	1.201	1.272	1.283	1.359
0.4	1.195	1.232	1.276	1.315
0.5	1.200	1.197	1.279	1.275

値に比して全般的に小さく、標準偏差はほぼ同等であるが、 $T_p$ に対するよりも  $T_{p1}$ に対する相関性が高くなっている。したがって他の周期パラメータとの相関性を表現するには  $T_p$ よりもむしろ  $T_{p1}$ の方が妥当であると考えられる。

非常に重要な波浪諸元の一つである  $T_{1/3}$  とスペクトルのピークに対応する周期の関係についてみると、これらを比較するに際して、(12) および (13) 式に示した値に比較して全般的に大きめであるが、サンプリング間隔 0.5 秒の場合の  $T_{p1}/T_{1/3}$  の値がそれにもっとも近くなっている。 $T_{p1}/T_{1/3}$  の値に大きな変動がみられるのは、主として  $T_{p1}$  の変動に起因しているからである。

合田によると、ISSC スペクトルを用いた場合

$$\left. \begin{array}{l} T_p/T_{01}=1.295 \\ T_p/T_{02}=1.408 \end{array} \right\} \quad \dots \quad (24)$$

となる。本稿で得られた上記比の値をまとめると、表-4 に示すようになる。これらを比較すると、(24) 式の値は  $T_{p1}/T_{01}$ ,  $T_{p1}/T_{02}$  のサンプリング間隔 0.2~0.3 秒の値に対応しており、 $T_p/T_{01}$ ,  $T_p/T_{02}$  のいずれよりも大きい。またサンプリング間隔が 0.5 秒になると  $T_p$ ,  $T_{p1}$  の差はほとんどなくなる。先に報告した算定結果はサンプリング間隔 0.5 秒で、 $T_p/T_{01}=1.318$ ,  $T_p/T_{02}=$

1.442,  $T_{p1}/T_{01}=1.232$ ,  $T_{p1}/T_{02}=1.347$  となっており、この方が (24) 式の値に近くなっている。このように本稿における比の値が小さく見積られているのは、表-1 にみるよう  $\eta_S$  の値は (10) 式に示されるような標準スペクトルに対する値よりも小さい、すなわちややシャープなスペクトル形状をもつデータを対象としていたことによるものと思われる。

なお、(14) 式に示すガムマ型スペクトルを用いて  $T_{-10}$  を求めると  $T_{p1}$  の算定式と同じものが得られる。しかしながら、スペクトルから得られる  $T_{-10}$  は  $T_{p1}$  に対してやや小さめであり、 $T_{1/3}$  とほぼ同等の値となっている。

### 3.2 湾外よりの侵入波および湾内で発生するうねりのエネルギーの推定結果について

本稿で対象とした代表的な擾乱時の最盛時における湾外からの侵入波および湾内で発生するうねりのエネルギー（あるいはさらに発達しうるエネルギー量）の算定結果によると、S 系（S 系の風の卓越時）の場合に相当する 8 月 3 日、6 月 21 日、9 月 16 日の擾乱時には  $E_2 > E_1$  であり、W 系の場合にはすべて  $E_2 > E_1$  となっており、S 系の場合には湾外からの何らかの侵入波のあったことが予想される。顕著な異常波浪の出現した 2 月 28 日（春一番）、6 月 21 日（前線性）、8 月 3 日（台風）お

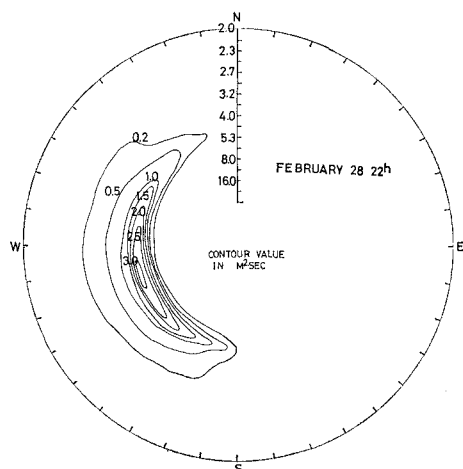


図-2 昭和53年2月28日22時のMT局での方向スペクトル

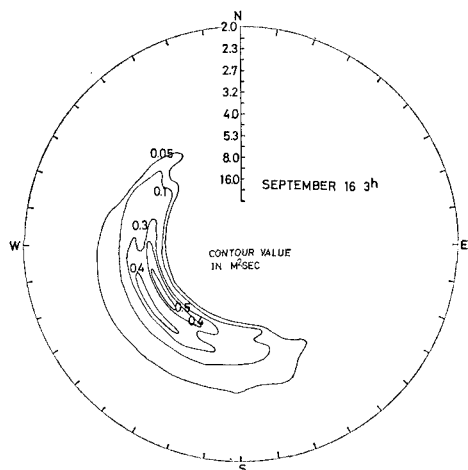


図-3 昭和53年9月16日3時のMT局での方向スペクトル

より9月16日(台風)について、算定結果を経時変化について述べると以下のようになる。なお、上記擾乱時の内W系、S系の代表的擾乱時であるそれぞれ2月28日22時および9月16日3時の方向スペクトルを図-2、3に示す。

2月28日の擾乱時には22時に最大(23時は欠測)の波高が得られ、この時には  $E_2 \approx \hat{E}_2$  となっており、W系の強風によりほぼ定常状態になっていたと考えられ、W~WSW方向に周期約5.5秒の卓越したエネルギー

一がみられる。

6月21日にはもっとも波が発達した2時以外はおおむね  $E_2 > \hat{E}_2$  となっている。 $E_2 - \hat{E}_2$  ( $E_2 > \hat{E}_2$ ) の値のもっとも大きいのは1時の約60cmである。

S系の風がもっとも卓越した8月3日はいずれも  $E_2 > \hat{E}_2$  となっており、波高の最大時刻は9時であるが、 $E_2 - \hat{E}_2$  の量は8時に最大であり、約1.2mが得られている。なお8月3日は流速計のデータに異常がみられたので方向スペクトルは算定していない。

9月16日には、波高が最大となっているのは2時であり、その前後ではいずれも  $E_2 > \hat{E}_2$  となっている。 $E_2 - \hat{E}_2$  の最大は4時に得られており、約70cmとなっている。方向スペクトル図によると、方向は約240°(Nから時針方向)であるが、周期約8秒と5.3秒に二つのエネルギーピークがみられる。

以上のように、W系の擾乱の卓越時にはほとんど顕著な湾外からの侵入波のエネルギーはみられないが、S系の擾乱の卓越時には明らかに周期の異なる何らかの湾外からの侵入波のエネルギーが考えられる。そのエネルギーは有義波高約2mに対し1.2m(換算有義波高)に達する可能性がある。

#### 4. 結 語

以上、本研究では大阪湾で得られた資料を基に大阪湾における波浪の統計的性質ならびに湾外から侵入するエネルギー量の試算をおこなった。限られたデータ量の関係で十分な検討を加えることができなかったが、Riceの理論の成立を仮定して得られるパラメータの統計的有意性が明らかにされ、一方では大阪湾におけるS系、W系の擾乱時の湾内波浪の特性の差異が明らかにされた。

今後は、(16)式で仮定したガンマ型スペクトルおよび他の標準型スペクトルのナイキスト周波数でのカットによる推定パラメータの挙動を実測値との比較を基に検討してゆく必要があるとともに、データの蓄積に努めなければならない。

最後に、データの取得に尽力をいただいた運輸省第三港湾建設局神戸調査設計事務所、ならびに関西新空港調査室の方々に深甚の謝意を表します。

#### 参考文献

- 1) 高橋智晴・広瀬宗一・佐々木徹也: スペクトル幅パラメータと波浪周期の関係、港湾技術資料、No. 315, 1979.